

واسنجی ضریب پریستلی- تیلور در برآورد تبخیر از سطح آزاد آب (مطالعه موردی: مخزن سد مهاباد)

آناهیتا قبادی^۱، پیمان دانش کار آراسته^{*۲}، سید مصطفی خضری^۳

۱. دانشجوی کارشناسی ارشد گروه مهندسی محیط زیست، دانشکده محیط زیست، واحد تهران غرب، دانشگاه آزاد اسلامی

۲. دانشیار گروه علوم و مهندسی آب، دانشکده فنی و مهندسی، دانشگاه بین‌المللی امام خمینی (ره)، قزوین

۳. دانشیار دانشکده محیط زیست و انرژی، واحد علوم و تحقیقات، دانشگاه آزاد اسلامی

(تاریخ دریافت ۱۳۹۵/۱۱/۲۰؛ تاریخ تصویب ۱۳۹۶/۰۱/۲۵)

چکیده

تبخیر تعرق واقعی یکی از مؤلفه‌های مهم بیلان آب هر حوضه است که اندازه‌گیری مستقیم آن در مقیاس حوضه امکان‌پذیر نیست و ناگزیر از روش‌های غیرمستقیم برآورد می‌شود. در این زمینه، مدل فرارفت خشکی که یکی از مدل‌های پرکاربرد از روابط مکملی است، بسیار مورد توجه قرار گرفته است. در مدل فرارفت خشکی به منظور زیاد کردن دقت مدل، ضریب معادله پریستلی- تیلور، به واسنجی نیاز دارد. هدف از این تحقیق، واسنجی ضریب پریستلی- تیلور در برآورد تبخیر پتانسیل با روش پنمن به منظور کاربرد آن در مدل فرارفت خشکی در حوضه دریاچه سد مهاباد است. داده‌های استفاده شده از ایستگاه سینوپتیک مهاباد که در فاصله اندکی از سد مهاباد قرار دارد، برای طول دوره داده‌برداری ۲۶ ساله (۱۳۹۱-۱۳۶۵) گردآوری شده است. نتایج مطالعه نشان می‌دهد این ضریب، تغییرات ماهانه در طول سال دارد و همچنین در ماه‌های گرم سال مقدار آن کاهش می‌یابد. بدین‌منظور بهتر است در محاسبات از مقادیر ماهانه آن استفاده شود. در منطقه مطالعه شده، مقدار میانگین کمینه و بیشینه این ضریب به ترتیب $1/01$ و $1/68$ به دست آمد. همچنین، میانگین ۲۶ ساله این ضریب برابر $1/25$ محاسبه شده است.

کلیدواژگان: ضریب پریستلی- تیلور، فرضیه بوشه، مخزن سد مهاباد، مدل فرارفت خشکی، معادله پنمن.

روش‌های گوناگونی برای برآورد آن تا کنون مطرح بوده است که هر یک از آنها با عدم قطعیت‌هایی مواجه هستند. کاهش این عدم قطعیت‌ها به روش و موجودیت داده‌های مؤلفه‌های بیلان آب بستگی زیادی دارد. پژوهشگران و محققان در پی دستیابی به روش‌هایی با دقت مناسب برای برآورد تبخیر تعرق واقعی در سطح حوضه هستند که فقط به داده‌های اقلیمی متکی باشند و به داشتن پارامترهای فیزیکی خاک مانند رطوبت خاک، ضرب نگهداری آب در خاک و نقطه پذمردگی گیاه نیازی نداشته باشند که اندازه‌گیری آنها در سطح حوضه بسیار پرهزینه و زمانبر است.

(۱۹۶۳) نظریه‌ای با عنوان «روابط مکملی تبخیر و تعرق پتانسیل و واقعی» مطرح کرد که مورد توجه محققان بسیاری قرار گرفته و از آن پس روی این نظریه مدل‌های مختلفی برای برآورد تبخیر تعرق واقعی در سطح حوضه پیشنهاد شده است. نظریه بوش بیان می‌کند که در یک حوضه آبریز (مقیاس نسبتاً بزرگ) مجموع تبخیر تعرق واقعی و تبخیر تعرق پتانسیل یک مقدار نسبتاً ثابتی بوده و برابر با دو برابر تبخیر تعرق در یک شرایط محیط کاملاً تر است که در شکل ۱ این نظریه به خوبی مشهود است:

$$(1) \quad AET + PET = 2WET$$

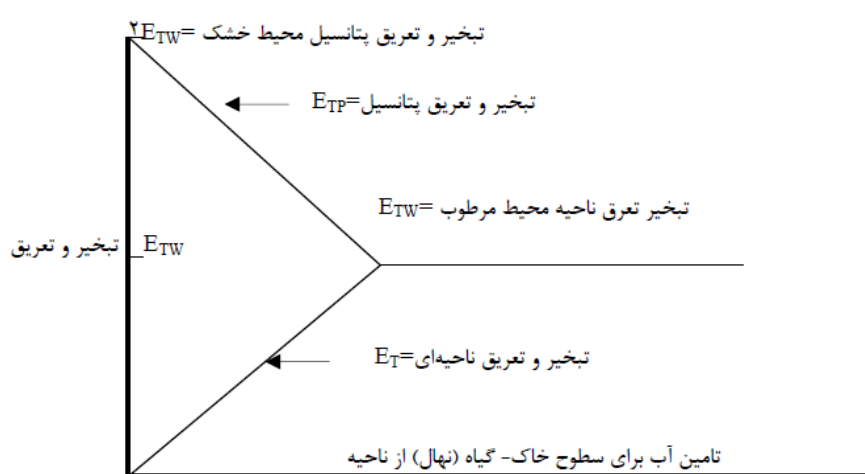
که در این رابطه، AET تبخیر تعرق واقعی، PET تبخیر تعرق پتانسیل و WET تبخیر تعرق در محیط تر در نظر گرفته شده است [۳].

مقدمه و مرور بر منابع

امروزه کمبود آب در جهان به مهم‌ترین و اساسی‌ترین چالش‌های بشر تبدیل شده است. از این‌رو، برای رفع این مشکل، مدیریت منابع آب و بهنگزیر شناخت و تغییرپذیری اجزای بیلان آب در حوضه‌ها از اساسی‌ترین راهکارهای آن به‌شمار می‌رود. در بیشتر حوضه‌های جهان، بخش عمده بیلان آب (بیشتر از دو سوم کل بارش‌ها) را تبخیر و تعرق واقعی تشکیل می‌دهد که باشتباه از آن به تلفات آب در حوضه‌ها نیز یاد می‌شود [۱].

برآورد قابل اطمینان از این مؤلفه مهم بیلان آب، یکی از اقدامات کلیدی در مدیریت منابع آب است. افزون بر آن، در حوضه‌های فاقد اندازه‌گیری رواناب (آبده‌ی) با برآورد این مؤلفه می‌توان پتانسیل یا توان آبده‌ی حوضه را برآورد کرد. چه‌بسا در آینده در مناطق خشکی مانند ایران، اقدامات پرهزینه‌ای برای کاهش این مؤلفه و در نتیجه افزایش رواناب اجتناب‌ناپذیر شود [۲].

برآورد تبخیر تعرق واقعی به‌علت تغییرات زمانی و مکانی آن به عکس دیگر مؤلفه‌های بیلان آب مانند بارش یا رواناب، که مستقیم اندازه‌گیری می‌شوند، بسیار پیچیده و فقط در مقیاس‌های بسیار کوچک مانند جعبه‌های کشت قابلیت اندازه‌گیری دارد و در مقیاس حوضه‌ها امکان‌پذیر نیست و ناگزیر از روش‌های غیرمستقیم، برآورد می‌شود.



شکل ۱. نمایشی نمادین از رابطه مکملی بین تبخیر و تعرق بالقوه و ناحیه‌ای با منبع ثابت انرژی تابشی [۳]

گیاهی و شرایط رطوبت خاک) و شرایط خرد اقلیمی همچون قدرت فرارفت (Advection) (تغییر می‌کند [۶]. پریستلی و تیلور مقدار $1/26$ را بر اساس داده‌های محیطی بدون محدودیت آب و شرایط اشبع سطحی و در شرایط بدون فرارفت پیشنهاد داده‌اند. در تحقیقی Eichinger و همکارانش (۱۹۹۶) به توسعه بیان تحلیلی برای α_{PT} پرداختند و مقدار $1/26$ را مقدار مناسبی برای خاک با این آبیاری شده دانستند [۷]. در پژوهش دیگری، Lhomme (۱۹۹۷) به ایجاد یک مبنای نظری برای ضریب پریستلی- تیلور از $1/26$ برای شرایط بدون فرارفت بدست آورد [۸]. بر اساس داده‌های حوضه‌ای در شمال اسپانیا، Castellvi و همکارانش (۲۰۰۱) مقدار α_{PT} را در تغییرات بزرگ فصلی و مکانی، مقادیر $1/35$ تا $1/67$ گزارش کردند، آنان با واسنجی مقادیر کمیت‌های کمبود فشار بخار و انرژی در دسترس، عملکرد بهتری را از مدل به دست آورند [۹].

از دیگر پژوهش‌های صورت گرفته، می‌توان به تحقیق Pereira (۲۰۰۴) اشاره کرد که با توجه به تجزیه و تحلیل Monteith (۱۹۶۵) و Perrier (۱۹۷۵)، فرضیه $\Omega = \alpha_{PT}$ را بررسی کرده است. کمیت Ω ضریب جدایش بوده و یکتابع از رفتار آیروдинامیک و مقاومت سطحی است که دلیلی بر ثابت‌نبوذن α_{PT} است. مقدار Ω می‌تواند بین صفر و یک متغیر باشد [۱۰].

در نهایت، Arasteh و Tajrishy (۲۰۰۸) مدل پریستلی- تیلور را با استفاده از بیلان حجمی برای برآورد تبخیر از سطح آب از یک مخزن واقع در یک منطقه خشک موسوم به چاه نمیه در استان سیستان واقع در جنوب شرقی ایران واسنجی کردند. نتایج پژوهش آنان نشان می‌دهد ضریب پریستلی- تیلور به عنوان یک ثابت در طول سال میان $2/47 \pm 0/03$ و $1/20 \pm 0/03$ برای دو دوره مختلف شرایط هیدرولوژیکی از خشک و تر تغییر می‌کند. بدین معنا که α_{PT} همچنین تغییرات (میان‌سالی) فصلی دارد. تغییرات میان‌سالی این پارامتر نشان می‌دهد این ضریب از $1/56$ تا $3/16$ در برابر $0/07$ تا $1/95$ به ترتیب برای شرایط خشک و تر تغییر می‌کند [۶]. مقدار بدست‌آمده α_{PT} در مقیاس وسیعی از سطوح مختلف به طور خلاصه در جدول ۱ آمده است. در داخل کشور در سایر حوضه‌ها تا کنون مدل فرارفت خشکی

اولین و پرکاربردترین مدل مطرح شده براساس این نظریه، مدل فرارفت خشکی (Advection-Aridity) است که توسط Brutsaert و Stricker (۱۹۷۹) تبیین شده است و در مباحث علمی از آن به مدل AA کلاسیک (اصلی) یاد می‌شود [۴]. در مدل AA ارائه شده بر پایه قراردادن پتانسیل تبخیر و تعرق از رابطه پنمن و پتانسیل محیط تر از رابطه پریستلی - تیلور براساس رابطه نظری بوشه بنا نهاده شده است. در مدل AA فقط با استفاده از داده‌های هواشناسی مقدار منطقه‌ای تبخیر تعرق واقعی را به دست می‌آورند.

معادله پریستلی- تیلور به صورت زیر تعریف می‌شود:

$$ET_{PT} = \alpha_{PT} \left[\frac{\Delta * (Rn - G)}{\Delta + \gamma} \right] \quad (2)$$

پریستلی و تیلور مدل تجربی خود را برای تخمین تبخیر تعرق پتانسیل با استفاده از تابش خالص ارائه داده‌اند [۵]. در این مدل با استفاده از مفهوم شرایط تعادل (حالی است که در آن هوای در تماس با سطح مرطوب، از بخار اشبع است)، بیان می‌شود که در این شرایط، فقط انرژی تابشی تعیین‌کننده میزان تبخیر است و عبارت آیرودینامیک در معادله ترکیبی پنمن برابر صفر شده، معادله به یک عبارت انرژی محدود می‌شود. از آنجا که فقط شرایط واقعی اتمسفر می‌تواند به حالت تعادل نزدیک شود، پریستلی و تیلور ضریبی تجربی (α_{PT}) را معرفی کردند که به عنوان نسبت تبخیر از سطح مرطوب در زمانی که شرایط حداقل جریان افقی وجود دارد، به تبخیر تحت شرایط تعادل تعریف می‌شود. پریستلی و تیلور عددی بین $1/08$ تا $1/34$ با یک میانگین کلی $1/26$ را برای این ضریب پیشنهاد کردند. بنابراین، عملاً جزء آیرودینامیکی معادله پنمن برای سطوحی با مقاومت آیرودینامیک زیاد نظری سطح آب، حذف و به جای آن یک مقدار ثابت در ترم مربوط به انرژی به عنوان ضریب α_{PT} جایگزین شد.

با توجه به به کارگیری مدل AA در مناطق مختلف آب و هوایی، به منظور زیاد کردن دقیق این مدل و دستیابی به نتایج واقعی تر، واسنجی ضریب موجود در معادله پریستلی- تیلور اهمیت ویژه‌ای دارد. ضریب پریستلی- تیلور (α_{PT}) به شکل وسیعی بر حسب نوع و شرایط سطح (نوع پوشش

است. این حوضه از نظر تقسیمات کشوری به استان آذربایجان غربی تعلق دارد. از شمال با میاندوآب، از جنوب با سردهشت، از سمت غرب با نقد و پیرانشهر و از سمت شرق با بوکان مجاور است (شکل ۲). در جدول ۲ خصوصیات کلی محدوده حوضه مهاباد رائه شده است.

حوضه مهاباد تا سد مهاباد بین عرض‌های جغرافیایی $۴۵^{\circ}۲۴'$ تا $۳۶^{\circ}۲۲'$ و طول‌های جغرافیایی $۳۷^{\circ}۰۲'$ و $۴۶^{\circ}۰۰'$ در زون ۳۸ از سیستم مختصات UTM قرار گرفته است. سد مهاباد واقع در استان آذربایجان غربی از نوع خاکی با هسته رسی در سال ۱۳۴۶ شروع به ساخت شده و در سال ۱۳۴۹ به بهره‌برداری رسیده است. سطح مخزن سد مهاباد حدود $۱۰/۲$ کیلومترمربع در تراز سرریز $۱۳۵۷/۴$ متر است.

بررسی نشده و تحقیقی در این زمینه به ثبت نرسیده است. مطالعه حاضر، بخشی از پایان‌نامه کارشناسی ارشد با عنوان «کاهش پارامتری مدل فرارفت خشکی در برآورد تبخیر تعرق واقعی در سطح حوضه‌ها» است که به منظور دقیق‌تر این مدل، ضریب پریستلی- تیلور در حوضه مطالعه شده و اسنجه شده است.

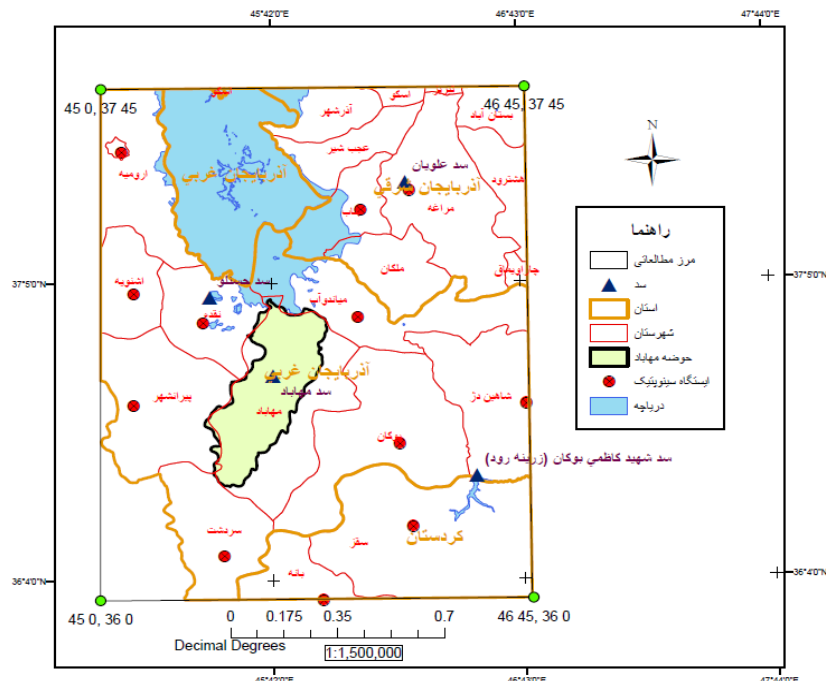
مواد و روش‌ها

معرفی محدوده مطالعه‌ی

محدوده مطالعه شده حوضه مهابادچای از زیر‌حوضه‌های ورودی به دریاچه ارومیه است که کل حوضه مهاباد تا دریاچه ارومیه با مساحتی برابر $۱۵۰۶/۹$ کیلومترمربع بوده و مساحت حوضه تا محل سد مهاباد ۸۰۸ کیلومترمربع و محیط آن $۲۱۹/۹$ کیلومتر، واقع در شمال غربی ایران

جدول ۱. مقادیر اندازه‌گیری ضریب پریستلی- تیلور [۱۱ و ۱۲]

مرجع مطالعه	روزانه (۲۴ ساعت) یا در طول روز (ساعت‌های روشنایی روز)	سطح N (تعدادی از سایت‌های تجربی است)	α_{PT}
Mukammal and Neumann (1977)	روزانه	علف و چمن (خاک در ظرفیت زراعی)	۱/۲۹
Davies and Allen (1973)	روزانه	چمن چاودار آبی	۱/۲۷
Priestley and Taylor (1972)	روزانه	سطح اشباع شده	۱/۲۶
Priestley and Taylor (1972)	روزانه	آب روباز	۱/۲۶
McNaughton and Black (1973)	روزانه	جنگل مرطوب دوگلاس	۱/۱۸
De Bruin and Holtstag (1982)	طی روز	علف و چمن کوتاه	۱/۱۲
Barton (1979)	طی روز	سطح برهنه خاک	۱/۰۴
Flint and Childs (1991)	روزانه	احیای جنگل‌های مخلوط (آب محدود)	۰/۹۰
Fisher et al. (2005)	طی روز	کاج پین دورسا (آب محدود)	۰/۸۷
Black (1979)	روزانه	جنگل دوگلاس (غیرنازک)	۰/۸۴
Komatsu (2005)	طی روز	پهن برگ همیشه‌سبز نواحی گرم‌سیری $N = ۷$	۰/۸۲
Black (1979)	روزانه	جنگل دوگلاس (نازک)	۰/۸۰
Komatsu (2005)	طی روز	پهن برگ همیشه‌سبز نواحی معتدل $N = ۵$	۰/۷۶
Komatsu (2005)	طی روز	درخت کاج همیشه‌سبز نواحی معتدل $N = ۳۵$	۰/۶۵
Komatsu (2005)	طی روز	مخروطیان همیشه‌سبز شمالی $N = ۸$	۰/۵۵
Komatsu (2005)	طی روز	مخروطیان برگ‌ریز شمالی $N = ۲$	۰/۵۳



شکل ۲. موقعیت سد مهاباد در حوضه مهاباد

جدول ۲. خصوصیات کلی حوضه مهاباد

۳۰۹	۴۹۹	۱۶۳۳/۹	۱۵۱۶	۱۲۱۵	۳۰۱	کد محدوده	نام محدوده
ساله داشت	ساله از تقاضات	ارتفاع متواتسط از سطح دریا (متر)	مساحت محدوده	مساحت زنفهادات	مساحت داشت	کیلوتر مربع)	مطالعاتی
۴۰	۴۰	پارش متواتسط	کیلومتر مربع)	(کیلوتر مربع)	(کیلوتر مربع)	کیلوتر مربع)	پارش متواتسط
بارش (میلی‌متر)	ساله از تقاضات	ارتفاع متواتسط از سطح دریا (متر)	مساحت مطالعاتی	مساحت زنفهادات	مساحت داشت	کد محدوده	مطالعاتی

ایکسان سازی فرمت داده ها و برگرداندن تقویم میلادی به سال آیی در بانک اطلاعاتی، این پیوهش قرار داده شد.

روش تحقیق

بر اساس معادله ۲ سمت راست معادله پریستلی- تیلور توابعی از پارامترهای اقلیمی هستند که قابل محاسبه‌اند؛ ولی طرف سمت چپ آن تبخیر از سطح آزاد آب به‌شمار می‌رود که می‌تواند با یکی از روش‌های پنمن، تست تبخیر، تبخیر از دریاچه به روش بیلان برآورد شود، که در این پژوهش، فقط نتایج روش پنمن آن ارائه می‌شود.

منابع، نظریه

الف) معادلة بستلم - تيلو،

چنان که تا کنون آمده است پریستلی و تیلور (۱۹۷۲) با اصلاح معادله پمن در شرایط نبود فارافت و اشبع، مدلی

داده‌های استفاده شده

با توجه به نزدیکی سد مخزنی مهاباد و ایستگاه سینوپتیک آنچه می‌توان از مجموعه اطلاعات این ایستگاه و داده‌های بهره‌برداری سد و همچنین، داده‌های ایستگاه‌های مجاور مانند ارومیه، سقز، سمندج و تبریز استفاده کرد. داده‌های استفاده شده در این مطالعه شامل داده‌های عوامل اقلیمی مشاهده شده در ایستگاه‌های سینوپتیک، زاویه روزانه میل خورشیدی، عرض جغرافیایی و ضرایب آنگستروم در ایستگاه‌های یادشده است. به علاوه، داده‌های دمای میانگین کمینه، دمای میانگین بیشینه، میانگین دمای روزانه، نم نسبی کمینه، نم نسبی بیشینه، ساعت آفتابی، سرعت باد در ۱۰ متری، ارتفاع از سطح دریا، برای طول دوره آماری ۲۶ ساله مشترک (۱۳۹۱-۱۳۶۵) جمع‌آوری و پس از

استفان-بولتزمن ($MJ K^4 m^{-2} day^{-1}$) است و باید اشاره کرد که $\leq \frac{R_s}{R_{SO}}$ است.

$$\sigma = 4/9 * 10^{-9} (MJ m^{-3} day^{-1}) \quad (7)$$

$$R_{SO} = (0.75 + 2 * 10^{-5} Elev) R_a \quad (8)$$

که در آن $Elev$ ارتفاع زمین (m) بیشتر از سطح دریا از ایستگاه هواشناسی سینوپتیک و R_a تابش فرازمینی ($MJ m^{-2} day^{-1}$) که تابش خورشیدی در یک سطح افقی در بالای جو زمین تعریف می‌شود و به صورت زیر محاسبه می‌شود:

$$R_a = \frac{1440}{\pi} G_{sc} d_r \quad (9)$$

$[\omega_s \sin(lat) \sin(\delta) + \cos(lat) \cos(\delta) \sin(\omega_s)]$
که در آن G_{sc} ثابت خورشیدی برابر 0.082 ($MJ m^{-2} min^{-1}$)، d_r معکوس فاصله نسبی زمین تا خورشید، ω_s زاویه ساعت غروب آفتاب (lat, rad) عرض جغرافیایی (rad) نیم کره جنوبی منفی) است و δ زاویه میل خورشیدی (rad) است.

$$d_r = 1 + 0.033 \cos\left(\frac{2\pi}{365} DoY\right) \quad (10)$$

$$\delta = 0.409 \sin\left(\frac{2\pi}{365} DoY - 1/39\right) \quad (11)$$

که در آنها DoY روز از سال در تقویم میلادی بر مبنای روز اول زانویه است، ولی در این پژوهش مقادیر روزانه زاویه میل خورشیدی از جدول‌های نجومی سایت اینترنتی Walter Sanford's استخراج و در محاسبات به کار گرفته شده است. جدول‌های زاویه میل خورشیدی ۳۶۵ روز سال بین $-21^{\circ}43'$ تا $23^{\circ}26'$ در سال تغییر می‌کند [۱۴].

از آنجا که محاسبات در مقیاس زمانی سال آبی انجام گرفته است، شمار روزشمار میلادی به تقویم سال آبی برگردانده شده است.

زاویه ساعت آفتابی α از معادله زیر بدست می‌آید:

$$\omega_s = \arccos[-\tan(lat) \tan(\delta)] \quad (12)$$

که در آن R_s را می‌توان از معادله آنگستروم-پرسکات به صورت زیر محاسبه کرد [۱۵]:

$$R_s = \left(a_s + b_s \frac{n}{N} \right) R_a \quad (13)$$

در این رابطه n مدت مشاهده ساعت آفتابی و N بیشترین زمان ممکن ساعت طول روز است و a_s و b_s ثابت‌اند و a_s بخشی از تشعشعات فرازمینی است که در روزهای بدون خورشید به زمین می‌رسد ($n=0$ و $a_s + b_s = 0$).

تجربی برای تعیین تبخیر پتانسیل تنها با استفاده از جزء تابش خالص ارائه شده است و بنابراین در مدل پنمن جزء آبرودینامیکی آن حذف و به جای آن و همارزی ضریبی در جزء مربوط به انرژی لحاظ شده است [۵].

در معادله (۲) ضریب پریستلی-تیلور، شار خاک به داخل زمین (G) بر حسب ($MJ m^{-2} day^{-1}$)، شب منحنی فشار بخار اشباع (Δ) بر حسب ($kPa ^{\circ}C^{-1}$)، ثابت سایکرومتری (۲) و گرمای نهان تبخیر (λ) بر حسب ($MJ kg^{-1}$) است.

بنابراین:

$$\alpha_{PT} = \frac{ET_{PT}}{\frac{\Delta}{\lambda} * \left(\frac{R-G}{\lambda} \right)} \quad (3)$$

برای برآورد ضریب پریستلی-تیلور از یک سو نیاز به برآورد تبخیر از سطح آزاد آب دریاچه سد مهاباد و از سوی دیگر، نیاز به محاسبه Δ ، G ، Rn ، λ و α است. تبخیر از سطح دریاچه با استفاده از رابطه پنمن با لحاظ کردن داده‌های اقلیمی ایستگاه سینوپتیک مهاباد به علت بعد مسافت کم آن انجام پذیرفته است.

برآورد تابش خالص خورشیدی تابش خالص روزانه در سطح تبخیر (Rn) از اختلاف تابش خالص طول موج کوتاه به سطح تبخیر (R_{ns}) و تابش خالص طول موج بلند ساطع شده از آن (R_{nl}) بر حسب ($MJ m^{-2} day^{-1}$) بدست می‌آید.

$$R_n = R_{ns} - R_{nl} \quad (4)$$

تابش خالص خورشیدی موج کوتاه از رابطه زیر محاسبه می‌شود:

$$R_{ns} = (1-\alpha) R_s \quad (5)$$

که در آن R_s برآورد تابش خورشیدی ورودی ($MJ m^{-2} day^{-1}$) و α در آن آلبیدو سطح تبخیری است [۱۳].

تابش خالص طول موج خروجی بلند از رابطه زیر برآورد می‌شود:

$$R_{nl} = \sigma \left(0.24 - 0.14 \bar{v}_a^{1/5} \right) \left(\frac{(T_{max} + 273/2)^* + (T_{min} + 273/2)^*}{2} \right) \left(1/25 \frac{R_s}{R_{so}} - 0/25 \right) \quad (6)$$

که در آن R_{so} تابش آسمان صاف ($MJ m^{-2} day^{-1}$) میانگین فشار بخار واقعی روزانه (kPa)، T_{min} و T_{max} به ترتیب بیشترین و کمترین دمای روزانه ($^{\circ}C$) و σ ثابت

طرف راست معادله پریستلی- تیلور در سال‌های داده‌برداری و ماههای سال در دست است.

در منطقه مطالعه شده مقادیر تصحیح شده ضرایب آنگستروم- پرسکات (ایستگاه ارومیه) استفاده شده است (جدول ۳) [۱۶].

جدول ۳. ضرایب آنگستروم- پرسکات ایستگاه ارومیه

b_s	a_s	فصل	ایستگاه
۰/۴۳	۰/۳۸	تابستان	
۰/۴۹	۰/۳۲	زمستان	ارومیه

بخشی از تشبعات فرازمنی است که در روزهای آفتابی کامل به زمین می‌رسد ($N = N$).

زمانی که مقادیر کالیبره شده a_s و b_s در دسترس نیست، $a_s = ۰/۲۵$ و $b_s = ۰/۵$ استفاده می‌شوند.

شایان یادآوری است که ایستگاه سینوپتیک مهاباد برای بعضی سال‌ها بدون داده ساعت آفتابی است که این کمبود با استفاده از جایگزینی داده‌های ایستگاه‌های سینوپتیک ارومیه، سندج، تبریز و سقز رفع شده است. جدول ۴ دیگر روابط استفاده شده مدل پریستلی- تیلور را نشان می‌دهد. بنابراین،

جدول ۴. پارامترهای مدل پنمن و پریستلی- تیلور و واحد آنها

متغیرها و واحدهای معادله	
$\Delta = \frac{40.98 \left[0.6108 \exp\left(\frac{17/27T_a}{T_a + 237/3}\right) \right]}{(T_a + 237/3)^2}$	شیب منحنی فشار بخار اشباع ($\text{kPa}^{\circ\text{C}^{-1}}$)
$\gamma = 0.00163 \frac{P}{\lambda}$	ثابت سایکرومتری ($\text{kPa}^{\circ\text{C}^{-1}}$)
$p = 101/3 \left(\frac{293 - 0.0065Elev}{293} \right)^{5/4}$	فشار اتمسفر (kPa)
$(\text{MJ kg}^{-1})\lambda = 2/45 (\text{MJ kg}^{-1})$	گرمای نهان تبخیر (20°C)
$(\text{MJ m}^{-3}\text{day}^{-1})G = c_s d_s \left(\frac{T_i - T_{i-1}}{\Delta t} \right)$	شار خاک به داخل زمین
$V_T^* = 0.6108 \exp\left[\frac{17/27 T}{T + 237/3}\right]$	فشار بخار اشباع (kPa)
$V_a^* = \frac{V_a^*(T_{\max}) + V_a^*(T_{\min})}{2}$	فشار بخار اشباع روزانه (kPa)
$V_a = \frac{V_a^*(T_{\min}) \frac{RH_{\max}}{100} + V_a^*(T_{\max}) \frac{RH_{\min}}{100}}{2}$	متوسط روزانه فشار بخار واقعی (kPa)

ب) معادله پنمن (MJ kg^{-1})، متوسط روزانه فشار بخار واقعی (v_a)، فشار بخار اشباع روزانه (V_a^*)، سرعت باد در دو متری و ثابت سایکرومتری (γ) است.

داده سرعت باد در ارتفاع ۱۰ متری با استفاده از معادله ۱۷ به سرعت باد در ارتفاع دو متری تبدیل شده است:

$$\frac{V_{10}}{V_2} = \left(\frac{10}{2} \right)^{1/5} \quad (17)$$

در رابطه پنمن از آنجا که تبخیر از سطح آزاد آب است، ضریب بازتاب آب (آلبیدو) برابر 0.08 پیشنهادی استفاده شده است. در نتیجه، مقدار سمت چپ معادله پریستلی- تیلور نیز با استفاده از دیگر پارامترهای معادله پنمن در جدول ۴ محاسبه شد.

پنمن، دانشمند انگلیسی، در سال ۱۹۴۸ از ترکیب روش‌های آبودینامیک و توازن انرژی روشنی را برای محاسبه تبخیر از سطح آزاد آب ارائه کرد که به معادله پنمن معروف شد [۱۷ و ۱۸].

$$ET_{\text{pen}} = \frac{\Delta}{\Delta + \gamma} \frac{Rn}{\lambda} + \frac{\gamma}{\Delta + \gamma} Ea \quad (14)$$

$$Ea = f(u) (v_a^* - v_a) \quad (15)$$

$$f(u) = 1/213 + 1/381u \quad (16)$$

که در آنها (Δ) شیب منحنی فشار بخار اشباع بر حسب ($\text{kPa}^{\circ\text{C}^{-1}}$ ، تابش خالص روزانه در سطح تبخیر (Rn)) بر حسب ($\text{MJ m}^{-2} \text{day}^{-1}$ ، گرمای نهان تبخیر (λ)) بر حسب

پنمن سطح آزاد آب، مقدار تبخیر دریاچه سد مهاباد
محاسبه شد و در آخر با استفاده از محاسبات ضریب
پریستلی- تیلور به صورت ماهانه برای طول دوره ۲۶ ساله
داده برداری به دست آمد.

تغییرات فصلی ضریب پریستلی - تیلور

در جدول ۵ یافته‌های محاسباتی ضریب پریستلی- تیلور با روش پنمن به صورت ماهانه و سالانه ارائه شده است و افزون بر آن پارامترهای آماری میانگین، انحراف معیار، درصد ضریب تغییرات و مقادیر کمینه و بیشینه آنها نیز درج شده است.

یافته‌ها

همان طور که در قسمت های پیشین یاد شد، هدف از این تحقیق واسنجی ضریب پریستلی- تیلور منطقه ای است که دستیابی به آن موجب افزایش دقت مدل فرا رفت خشکی می شود. برای نیل به این موضوع ابتدا محاسبات پارامترهای مورد نیاز مدل پریستلی- تیلور (شب منحنی فشار بخار اشباع، ثابت سایکرومتری، فشار اتمسفر، گرمای نهان تبخیر، فشار بخار اشباع در دما، فشار بخار اشباع روزانه، متوسط روزانه فشار بخار واقعی، شار گرمای خاک و محاسبات تابش خورشیدی) صورت گرفته است و سپس با استفاده از معادله

جدول ۵. یافته‌های ضریب پریستلی- تیلور در سد مخزنی مهاباد با روش پنمن سطح آزاد آب

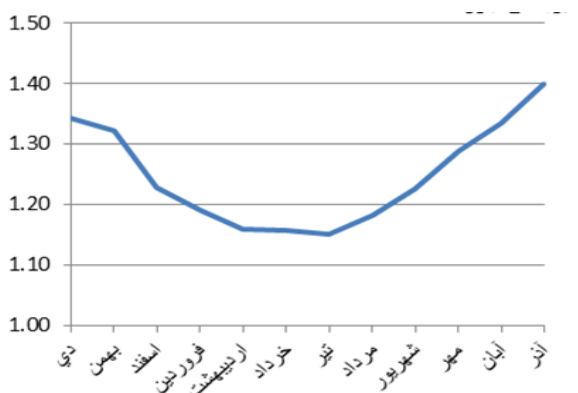
ساله	شمعون	پرداد	کی	چرد	اردیبهشت	خرداد	فروردین	اسفند	بهمن	دی	آذر	دی	بهمن	اسفند	خرداد	پرداد	شمعون	ساله
۱/۲۱	۱/۱۴	۱/۱۳	۱/۱۰	۱/۱۱	۱/۱۱	۱/۱۶	۱/۱۳	۱/۱۰	۱/۱۲	۱/۱۲	۱/۱۳	۱/۱۲	۱/۱۳	۱/۱۴	۱/۱۴	۱۳۶۵/۶۶	۱	
۱/۲۳	۱/۲۲	۱/۱۵	۱/۱۱	۱/۱۵	۱/۱۲	۱/۱۲	۱/۱۳	۱/۱۰	۱/۱۲	۱/۱۲	۱/۱۳	۱/۱۲	۱/۱۲	۱/۱۲	۱/۱۲	۱۳۶۶/۶۷	۲	
۱/۲۳	۱/۲۵	۱/۱۹	۱/۱۶	۱/۱۹	۱/۱۶	۱/۰۸	۱/۰۱	۱/۱۸	۱/۱۷	۱/۱۵	۱/۱۳	۱/۱۸	۱/۱۴	۱/۱۲	۱/۱۳	۱۳۶۷/۶۸	۳	
۱/۲۴	۱/۲۳	۱/۱۹	۱/۱۷	۱/۱۸	۱/۱۵	۱/۱۵	۱/۱۵	۱/۱۵	۱/۱۷	۱/۱۸	۱/۱۳	۱/۱۸	۱/۱۳	۱/۱۳	۱/۱۲	۱۳۶۸/۶۹	۴	
۱/۲۲	۱/۲۳	۱/۱۸	۱/۱۴	۱/۱۵	۱/۲۰	۱/۱۵	۱/۱۳	۱/۱۸	۱/۱۷	۱/۱۴	۱/۱۳	۱/۱۸	۱/۱۴	۱/۱۲	۱/۱۲	۱۳۶۹/۷۰	۵	
۱/۲۷	۱/۲۱	۱/۱۷	۱/۱۳	۱/۱۰	۱/۰۹	۱/۱۴	۱/۲۳	۱/۱۷	۱/۱۴	۱/۱۵	۱/۱۰	۱/۱۹	۱/۱۳	۱/۱۱	۱/۱۷	۱۳۷۰/۷۱	۶	
۱/۱۹	۱/۰۷	۱/۱۶	۱/۱۳	۱/۱۴	۱/۱۳	۱/۱۶	۱/۱۵	۱/۱۶	۱/۱۳	۱/۱۳	۱/۱۸	۱/۱۵	۱/۱۸	۱/۱۴	۱/۱۷	۱۳۷۱/۷۲	۷	
۱/۲۱	۱/۱۷	۱/۱۴	۱/۱۲	۱/۱۲	۱/۱۰	۱/۱۳	۱/۲۱	۱/۱۸	۱/۱۲	۱/۱۰	۱/۱۳	۱/۱۲	۱/۱۰	۱/۱۳	۱/۱۰	۱۳۷۲/۷۳	۸	
۱/۲۴	۱/۲۲	۱/۱۷	۱/۱۲	۱/۱۳	۱/۱۴	۱/۱۶	۱/۱۸	۱/۱۸	۱/۱۵	۱/۱۶	۱/۱۲	۱/۱۲	۱/۱۹	۱/۱۷	۱/۱۷	۱۳۷۳/۷۴	۹	
۱/۲۳	۱/۲۶	۱/۱۷	۱/۱۳	۱/۱۴	۱/۱۲	۱/۱۶	۱/۱۶	۱/۱۶	۱/۱۷	۱/۱۳	۱/۱۱	۱/۱۶	۱/۱۳	۱/۱۱	۱/۱۷	۱۳۷۴/۷۵	۱۰	
۱/۲۱	۱/۲۲	۱/۱۶	۱/۱۳	۱/۱۳	۱/۱۲	۱/۱۴	۱/۱۷	۱/۱۶	۱/۱۳	۱/۱۳	۱/۱۳	۱/۱۳	۱/۱۳	۱/۱۲	۱/۱۷	۱۳۷۵/۷۶	۱۱	
۱/۲۵	۱/۲۰	۱/۱۵	۱/۱۲	۱/۱۱	۱/۱۱	۱/۱۴	۱/۱۹	۱/۱۲	۱/۱۲	۱/۱۲	۱/۱۹	۱/۱۲	۱/۱۲	۱/۱۲	۱/۱۸	۱۳۷۶/۷۷	۱۲	
۱/۲۵	۱/۲۲	۱/۱۸	۱/۱۶	۱/۱۸	۱/۱۹	۱/۲۰	۱/۲۸	۱/۲۴	۱/۲۴	۱/۲۴	۱/۲۳	۱/۲۴	۱/۲۳	۱/۲۳	۱/۲۷	۱۳۷۷/۷۸	۱۳	
۱/۲۴	۱/۷۳	۱/۲۰	۱/۱۶	۱/۱۷	۱/۲۰	۱/۲۰	۱/۲۴	۱/۲۶	۱/۱۷	۱/۲۰	۱/۲۲	۱/۲۲	۱/۲۰	۱/۲۳	۱/۲۷	۱۳۷۸/۷۹	۱۴	
۱/۲۸	۱/۲۵	۱/۱۸	۱/۱۵	۱/۱۹	۱/۲۲	۱/۲۱	۱/۲۲	۱/۲۴	۱/۲۳	۱/۲۳	۱/۵۱	۱/۴۱	۱/۲۳	۱/۴۱	۱/۲۳	۱۳۷۹/۸۰	۱۵	
۱/۲۶	۱/۲۵	۱/۲۰	۱/۱۷	۱/۱۷	۱/۱۶	۱/۲۷	۱/۲۱	۱/۲۱	۱/۲۴	۱/۲۱	۱/۲۸	۱/۲۴	۱/۲۲	۱/۲۲	۱/۲۰	۱۳۸۰/۸۱	۱۶	
۱/۲۴	۱/۲۱	۱/۱۷	۱/۱۳	۱/۱۱	۱/۱۳	۱/۱۹	۱/۲۴	۱/۲۵	۱/۲۲	۱/۲۲	۱/۲۲	۱/۲۴	۱/۲۴	۱/۲۴	۱/۲۱	۱۳۸۱/۸۲	۱۷	
۱/۲۵	۱/۲۲	۱/۱۶	۱/۱۳	۱/۱۳	۱/۱۵	۱/۲۴	۱/۲۲	۱/۲۲	۱/۲۵	۱/۲۵	۱/۴۱	۱/۲۵	۱/۲۵	۱/۲۹	۱/۲۹	۱۳۸۲/۸۳	۱۸	
۱/۲۴	۱/۲۲	۱/۱۷	۱/۱۴	۱/۱۵	۱/۱۴	۱/۱۴	۱/۲۱	۱/۲۳	۱/۲۳	۱/۲۳	۱/۴۳	۱/۲۲	۱/۲۲	۱/۲۲	۱/۲۳	۱۳۸۳/۸۴	۱۹	
۱/۲۵	۱/۲۴	۱/۲۱	۱/۱۹	۱/۱۷	۱/۱۸	۱/۲۴	۱/۳۲	۱/۳۲	۱/۲۲	۱/۲۲	۱/۲۹	۱/۳۱	۱/۳۱	۱/۲۰	۱/۲۸	۱۳۸۴/۸۵	۲۰	
۱/۲۶	۱/۳۳	۱/۱۹	۱/۱۶	۱/۱۵	۱/۱۳	۱/۲۱	۱/۲۱	۱/۲۱	۱/۲۳	۱/۲۳	۱/۲۳	۱/۲۳	۱/۲۳	۱/۲۳	۱/۲۳	۱۳۸۵/۸۶	۲۱	
۱/۲۶	۱/۲۹	۱/۲۳	۱/۱۹	۱/۲۴	۱/۲۰	۱/۲۰	۱/۲۰	۱/۱۹	۱/۲۰	۱/۱۹	۱/۱۶	۱/۱۶	۱/۱۶	۱/۲۵	۱/۲۷	۱۳۸۶/۸۷	۲۲	
۱/۳۱	۱/۲۵	۱/۲۲	۱/۱۸	۱/۱۸	۱/۲۱	۱/۲۹	۱/۴۴	۱/۵۰	۱/۴۵	۱/۴۵	۱/۲۲	۱/۴۰	۱/۳۱	۱/۲۹	۱/۳۷	۱۳۸۷/۸۸	۲۳	
۱/۳۷	۱/۲۳	۱/۲۲	۱/۲۲	۱/۱۸	۱/۱۷	۱/۲۵	۱/۳۹	۱/۵۶	۱/۷۳	۱/۶۸	۱/۴۷	۱/۳۱	۱/۳۱	۱/۲۷	۱/۳۸	۱۳۸۸/۸۹	۲۴	
۱/۲۶	۱/۲۴	۱/۲۲	۱/۲۰	۱/۱۹	۱/۲۰	۱/۲۷	۱/۲۹	۱/۱۳	۱/۱۳	۱/۱۳	۱/۲۹	۱/۲۸	۱/۲۹	۱/۲۹	۱/۲۵	۱۳۸۹/۹۰	۲۵	
۱/۲۹	۱/۲۵	۱/۲۲	۱/۱۹	۱/۲۰	۱/۱۹	۱/۱۹	۱/۳۵	۱/۴۹	۱/۵۱	۱/۴۰	۱/۲۶	۱/۲۸	۱/۲۸	۱/۴۹	۱/۳۷	۱۳۹۰/۹۱	۲۶	
۱/۲۵	۱/۲۲	۱/۱۸	۱/۱۵	۱/۱۵	۱/۱۶	۱/۱۹	۱/۱۲	۱/۱۳	۱/۱۳	۱/۱۳	۱/۲۸	میانگین						
۱/۱۹	۱/۱۴	۱/۱۳	۱/۱۰	۱/۱۰	۱/۰۹	۱/۰۸	۱/۰۱	۱/۱۶	۱/۱۳	۱/۱۸	۱/۱۲	۱/۱۴	کمینه					
۱/۴۰	۱/۲۹	۱/۲۳	۱/۲۲	۱/۲۴	۱/۲۰	۱/۳۰	۱/۴۴	۱/۵۶	۱/۷۳	۱/۶۸	۱/۴۹	۱/۳۷	بیشینه					
۰/۰۴	۰/۰۳	۰/۰۳	۰/۰۳	۰/۰۳	۰/۰۵	۰/۰۶	۰/۰۹	۰/۱۰	۰/۱۰	۰/۱۱	۰/۰۸	۰/۰۵	انحراف معیار					
۲/۹۸	۲/۴۰	۲/۲۹	۲/۶۴	۲/۹۱	۴/۰۵	۴/۷۱	۷/۰۳	۷/۶۰	۷/۶۰	۷/۶۲	۵/۰۶	۴/۰۲	ضریب تغییرات					

می‌کند و برای درک بهتر این موضوع شکل ۴ را ارائه دادند. آنان در توضیح شکل ۴ بیان می‌کنند مقدار a_{PT} با افزایش دما کاهش یافته بهطوری که در محدوده صفر تا 30°C بهترین مقادیر $1/20$ تا $1/64$ است. ضریب پریستلی- تیلور را در بر می‌گیرد. همان طور که مشاهده می‌شود با افزایش دما این ضریب کاهش می‌یابد. در نتیجه، روند تغییرات a_{PT} در شکل ۳ کاملاً با تحقیقات جهانی همخوانی دارد و دارای روندی منطقی است [۱۹].

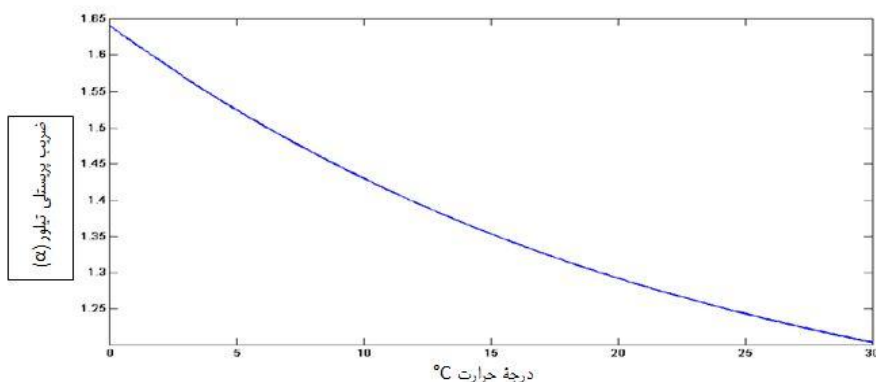
در شکل‌های ۵-۸ میانگین روند تغییرات هر فصل از سال ضریب پریستلی- تیلور به صورت جداگانه برای دوره داده‌برداری ۲۶ ساله ارائه شده است. همان طور که در شکل‌های ۷ و ۸ مشاهده می‌شود، مقادیر ضریب در این فصول نوساناتی دارد. با توجه به اینکه ضرایب یادشده تغییرات ماهانه کمی دارند، به هر حال در فصول سال باید به جای مقدار میانگین سالانه، از مقادیر میانگین ماهانه استفاده کرد.

همان طور که مشاهده می‌شود، درصد ضریب تغییرات و انحراف معیار نتایج به دست آمده اندک بوده و تغییرات ماهانه a_{PT} در کمترین مقدار از $1/01$ در اسفندماه سال آبی ($1367-1368$) و حالت بیشینه آن $1/68$ در آذرماه سال آبی ($1388-1389$) است. همچنان که شمار زیادی از مقالات [۶، ۱۷، ۱۸ و ۱۹] بیان کرده‌اند، ضریب پریستلی- تیلور تغییرات فصلی و ماهانه دارد. به‌منظور مقایسه این یافته‌ها با نتایج به دست آمده در دیگر کشورها شکل ۳ میانگین ماهانه ضریب با آغاز از ماه دی (ژانویه) تهیه و شکل‌های ۵-۸ به صورت میانگین فصلی ارائه شده‌اند. چنان که در این شکل‌ها دیده می‌شود، عموماً این قانونمندی را دارند که در ماه‌های گرم سال، مقدار a_{PT} کاهش و در ماه‌های سرد سال این ضریب افزایش داشته است.

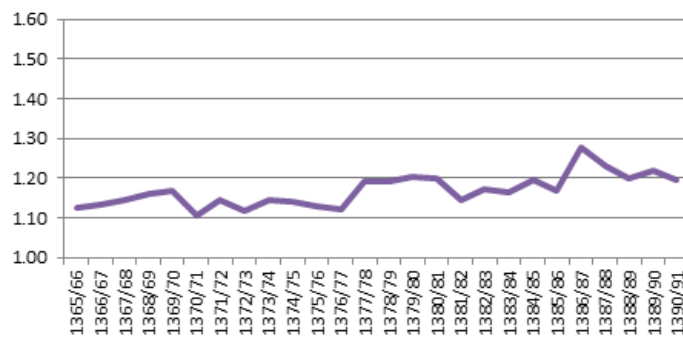
Szilagyi و همکارانش (۲۰۱۴) طی تحقیقی با به کارگیری تحلیل دوباره داده‌های ERA-Interim جهانی به این نتیجه رسیدند که ضریب پریستلی- تیلور با دما تغییر



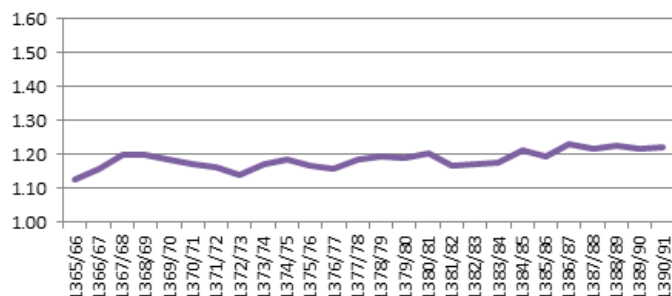
شکل ۳. میانگین ماهانه ضریب پریستلی- تیلور در محدوده سد مهاباد



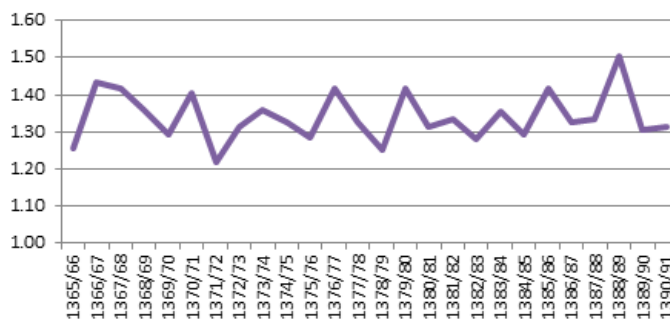
شکل ۴. تغییرات ضریب پریستلی- تیلور با دما در محدوده دما کاربرد صفر تا 30°C [۱۹]



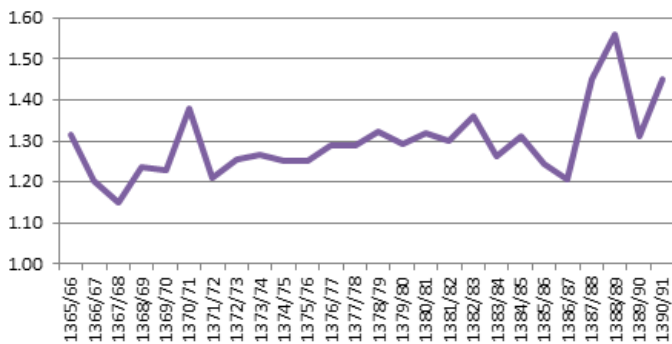
شکل ۵. میانگین ضریب پریستلی- تیلور در فصل بهار



شکل ۶. میانگین ضریب پریستلی- تیلور در فصل تابستان



شکل ۷. میانگین ضریب پریستلی- تیلور در فصل پاییز



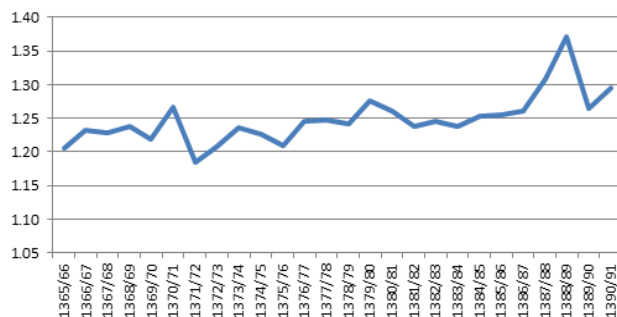
شکل ۸. میانگین ضریب پریستلی- تیلور در فصل زمستان

مقدار بیشینه آن $1/40$ در طول ۲۶ سال داده‌برداری است. همچنین، شکل ۱۰ میانگین سالانه تغییرات ضریب پریستلی- تیلور را نشان می‌دهد که در سال‌های اخیر احتمالاً به علت آثار اقلیمی این ضریب سالانه روندی افزایشی نشان داده است و برای توجیه آن بر اساس فرضیه بوشه می‌توان با احتیاط نتیجه‌گیری کرد که به علت افزایش دما، پتانسیل تبخیر افزایش یافته و در نتیجه تبخیر تعرق واقعی کاهش یافته است که این مسئله در شکل ۱۰ به خوبی دیده می‌شود. باید توجه کرد که مورد اخیر تا کنون در سطح مقالات علمی (۲۰۱۶) دیده نشده است و به مطالعات بیشتری در این زمینه نیاز است و از این‌رو با قيد احتیاط ارائه داده می‌شود.

تغییرات سالانه ضریب پریستلی- تیلور
با توجه به محاسبات صورت گرفته ضریب پریستلی- تیلور به صورت میانگین سالانه برای طول دوره مطالعه شده مقدار $1/25$ است. نزدیک‌بودن این عدد به مقدار پیشنهادشده توسط پریستلی و تیلور (۱/۲۶) برای مناطق با شرایط یادشده آنها با توجه به نزدیک‌بودن ایستگاه سینوپتیک مهاباد به دریاچه سد مهاباد و وجود خود دریاچه سد مهاباد و موقعیت اطراف دریاچه با کشاورزی وسیع مناطق اطراف، نشان از یک منطقه مرطوب دارد که با کمترین فرارفت (شکل ۹) کاملاً منطقی است و با مقادیر جهانی نیز مطابقت دارد. با توجه به جدول ۵ میانگین مقدار کمینه ۲۶ ساله a_{PT} و میانگین



شکل ۹. دریاچه سد مهاباد



شکل ۱۰. میانگین سالانه ضریب پریستلی- تیلور

نقاط و حوضه‌ها این شرایط برقرار نیست. با توجه به دقت زیاد برآورد تبخیر از سطح آزاد آب با روش پنمن از یک سو برای مخزن سد مهاباد طی یک دوره داده‌برداری ۲۶ ساله (۱۳۶۵ تا ۱۳۹۱) و همچنین یافته‌های مقالات متعددی در این زمینه [۶، ۱۷ و ۱۹] در سطح جهان از سوی دیگر، نشان داده شده است که ضریب پریستلی- تیلور مقدار ثابتی نیست و تغییرات فصلی دارد. با توجه به

بحث و نتیجه‌گیری
برآورد ضریب پریستلی- تیلور با توجه به تغییرپذیری آن بر حسب شرایط اقلیمی، پوشش سطحی و موجودیت آب به منظور کاربرد آن در مدل فرارفت خشکی و افزایش برآورد این مدل اهمیت ویژه‌ای دارد. ضریب سالانه پریستلی- تیلور در یک شرایط محیطی بدون محدودیت آب و فاقد فرارفت حدود $1/26$ است که به تبع در همه

- [5]. Priestley CHB, Taylor RJ. On the assessment of surface heat flux and evaporation using large-scale parameters. *Monthly Weather Review*. 1972; 100(2): 81-92.
- [6]. Arasteh PD, Tajrishy M. Calibrating Priestley Taylor model to estimate open water evaporation under regional advection using volume balance method case study Chahnameh reservoir Iran. *Journal of Applied Sciences*. 2008; 8(22): 4097-4104.
- [7]. Eichinger WE, Parlange MB, Strickler H. On the concept of equilibrium evaporation and the value of the Priestley Taylor coefficient. *Water Resources Research*. 1996; 32(1): 161-164.
- [8]. Lhomme JP. A theoretical basis for the Priestley Taylor coefficient. *Boundary Layer Meteorology*. 1997; 82(2): 179-191.
- [9]. Castellvi F, Stockle CO, Perez PJ, Ibanez M. Comparison of methods for applying the Priestley Taylor equation at a regional scale. *Hydrological Process*. 2001; 15(9): 1609-1620.
- [10]. Pereira AR. The Priestley Taylor parameter and the decoupling factor for estimating reference crop evapotranspiration. *Agricultural and Forest Meteorology*. 2004; 125(3-4): 305-313.
- [11]. Fisher JB, De Biase TA, Qi Y, Mu M, Goldstein AH. Evapotranspiration models compared on a Sierra Nevada forest ecosystem. *Environmental Modeling Software*. 2005; 20(6): 783-796.
- [12]. Komatsu H. Forest categorization according to dry canopy evaporation rates in the growing season: comparison of the Priestley Taylor coefficient values from various observation sites. *Hydrological Processes*. 2005; 19(19): 3873-3896.
- [13]. Allen RG, Pereira LS, Raes D, Smith M. Crop evapotranspiration guidelines for computing crop water requirements. *Irrigation and Drainage FAO56*. Rome. FAO. 1998.
- [14]. www.wsanford.com/~wsanford/exo/sundials/DEC_Sun.html
- [15]. Ulgen K, Hepbasli A. Solar radiation models Part 1: a review. *Energy Sources*. 2004; 26(5): 507-520.
- [16]. Kamali GH, Moradi I. Solar radiation: fundamental and applications in agriculture and renewable energy. *Atmospheric & Meteorological Research Center (ASMERC) Tehran*. 2004 [Persian].

تغییرپذیری فصلی این ضریب، ضروری است در برآوردهای مدل فرارفت خشکی به جای مقدار سالانه از مقادیر فصلی استفاده شود.

از دیگر یافته‌های مرتبط با ضریب پریستلی- تیلور، وابستگی آن با دما است به طوری که با کاهش دم، این ضریب افزایش می‌یابد و به عکس در ماههای گرم تابستان کاهش می‌یابد. از این‌رو، ضرورت استفاده از مقادیر ماهانه ضریب پریستلی- تیلور به‌منظور افزایش دقیق مدل فرارفت خشکی ضروری به نظر می‌رسد. در تحقیق حاضر، مقادیر ضریب پریستلی- تیلور و تغییرات زمانی آن طی سال به خوبی با یافته‌های جهانی از جمله مقدار میانگین سالانه ۱/۲۵ تغییرات فصلی (و ماهانه) و همبستگی آن با دما کاملاً مطابقت دارد و این امر ناشی از شرایط محیطی مشابه یعنی موجودیت آب در یاچه سد مهاباد، همچنین در فاصله بیشتری در یاچه ارومیه و مناطق کشاورزی و آبیاری شده است.

از آنجا که در تحقیق حاضر از تابع باد و پروفیل لگاریتمی مطابق با روابط ۱۶ و ۱۷ که در مدل اصلی پمن به کار رفته، استفاده شده است و ضرورتاً این تابع در هر منطقه از جمله در محدوده مطالعه شده صدق نمی‌کند لازم است در محدوده مخزن سد مهاباد از طریق نصب ادوات مربوطه این روابط اعتبارسنجی شود و در صورت مغایرت، روابط جدید به دست آمده در مدل‌سازی به کار گرفته شود.

منابع

- [1]. Valizadeh Kamran Kh, Jahanbakhsh S, Zahedi M, Rezaee Banafsheh M. Actual evapotranspiration and its relation to land use analysis in GIS case study Meshkinshar city. *Journal of Geographic Space*. 2012; 37: 39-54 [Persian].
- [2]. Poormohamadi S, Dastourani MT, Cheraghi SAM, Mokhtari MH, Rahimian MH. Evaluation and estimation of water balance components in dry areas by using remote sensing and GIS (Case Study: Yazd Manshad watershed). *Journal of Water and Wastewater*. 2011; 22(3): 99-108.
- [3]. Bouchet RJ. Evapotranspiration Reelle et Potentielle Signification Climatique. International Association of Hydrological Sciences. 1963; 62: 134-142.
- [4]. Brutsaert W, Stricker H. An advection aridity approach to estimate actual regional evapotranspiration. *Water Resources Research*. 1979; 15(2): 443-449.

- [17]. Penman HL. Natural evaporation from open water, bare soil and grass. *Proceedings of the Royal Society of London Series A – Mathematical and Physical Sciences*. 1948; 193: 193- 120.
- [18]. Valiantzas J. Simplified versions for the Penman evaporation equation using routine weather data. *Journal of Hydrology*. 2006; 331(3-4): 690-702.
- [19]. Szilagyi J, Parlange MB, Katul GG. Assessment of the Priestley-Taylor parameter value from ERA-Interim global reanalysis data. *Journal of Hydrology and Environment Research*. 2014; 2(1): 1-7.
- [20]. Vourlitis GL, Hayashi M, De Nogueira SJ, Caseiro FT, Campelo JH. Seasonal variations in the evapotranspiration of a transitional tropical forest of Mato Grosso Brazil. *Water Resources Research*. 2002; 38(6): 30-1-30-11.
- [21]. De Bruin HAR, Keijman JQ. The Priestley-Taylor evaporation model applied to a large shallow lake in the Netherlands. *Journal of Applied Meteorology*. 1979; 18(7): 898-903.